

ジビオラントロニル類の合成

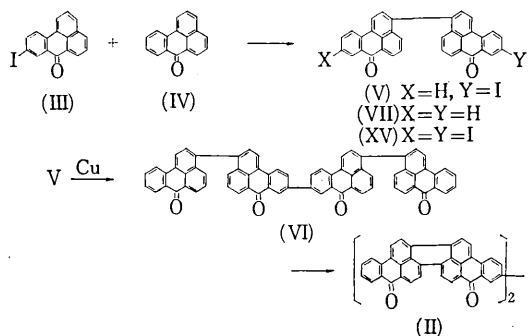
The Syntheses of Diviolanthronyls

後藤信行*・時田澄男**

Nobuyuki GOTOH and Sumio TOKITA

芳香族多環化合物の一種であるビオラントロン(I)は、堅牢な建染メ染料として貢用されてきたが、最近、これらの化合物に半導体的性質があることが注目されはじめた。このことは、発色の原因であるπ電子系の共役が、同時に、導電性の賦与とも関連していることを示している。本研究では、この分野に新しい材料を提供することを目的とし、Iの2量体である3,3'-および4,4'-ジビオラントロニルの合成を行なった。これらの化合物はお互いに異性体の関係にあるが、ビオラントロン核同志を結合している単結合の位置の相異により、前者は立体障害が少ないので反し、後者においてはそれが大きいという点で、いわゆる有機半導体の導電機構を明らかにする上で興味ある物質と考えられる。

これらの化合物は、前報¹⁾で述べたように、主として溶媒に対する難溶性にもとづく理由により、従来の有機化学で用いられていた一般的の確認法を適用することが困難である。本研究ではこの点を考慮し、以下に述べるような合成経路を採用することにより、合成手法的にこれららの化合物の生成が予測できるような方策を探った。



3,3'-ジビオラントロニル(II)の合成は、上記の反応式に従い、まず、既報²⁾に準じ、9-ヨードベンゾアントロン(III)と、ベンゾアントロン(IV)の非対称縮合によって得られる3種の3,3'-ジベンゾアントロニル類をアルミニナカラムクロマトグラフィーによって分離精製し、中間に流出する層から、9-ヨード-3,3'-ジベンゾアントロニル(V)を単離し、ハロゲン分析、赤外吸収スペクトル(図1)により構造を確認した。ここで得た化合物Vは、Vの合成の際の原料として用いたIIIと、ウルマン反応に

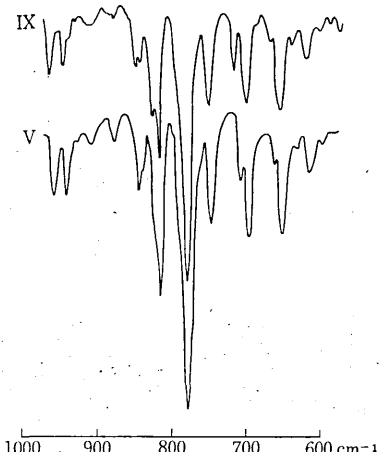


図1 VおよびIXの赤外吸収スペクトル
(日本分光IR-G型により測定)

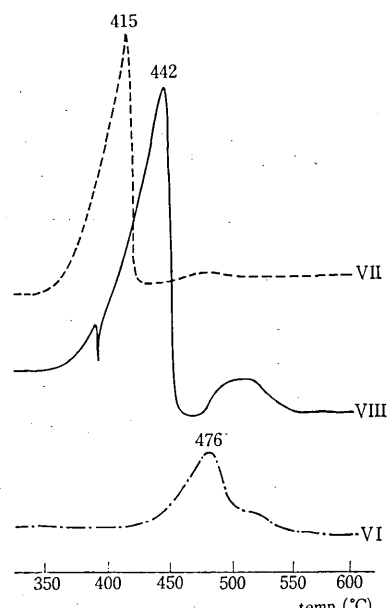


図2 VI, VII, VIIIの示差熱分析曲線
(試料量 472~589μg, 异温速度 5°C/min, VIは感度 1/2)

おける反応性の相異が少ないものと仮定し、後者がウルマン反応によって定量的に2量化する条件¹⁾の下に、前者のウルマン反応を行ない、クロマトグラフィーによって精製して、IIIの反応との対応からVの2量体と考えられる黄色粉末(VI)を単離した。VIは、融点測定のため500

* 東京大学生産技術研究所 第4部

** 埼玉大学理工学部

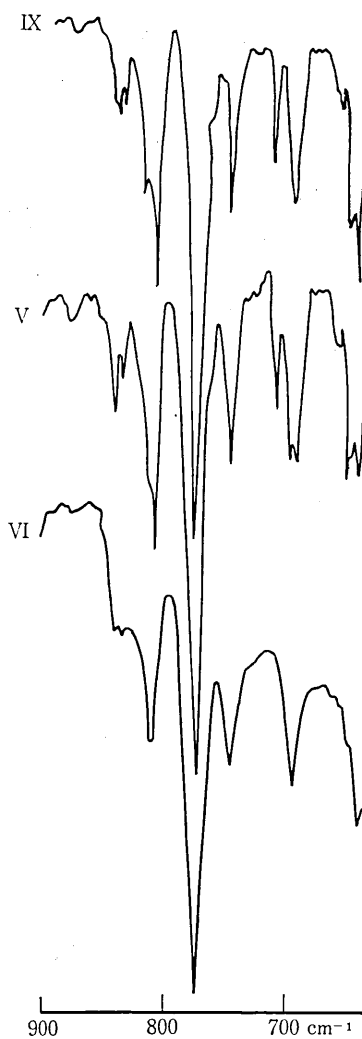


図3 IX, V, VIの赤外吸収スペクトル
(日本分光 IRA-1型により測定)

°Cまで加熱しても明瞭な変化はみられないが、示差熱分析により酸化分解曲線を求めるに、図2に示すように、*3,3'-ジベンゾアントロニル(VII)*または*9,9'-ジベンゾアントロニル(VIII)*に比較し、より高温度まで安定であることが判り、VIIやVIIIよりも高い分子量をもつ化合物であることが推定される。赤外吸収スペクトルでは、先に合成した9-ブロム³⁾(IX)または9-ヨード-3,*3'-ジベンゾアントロニル(V)*とよく一致するC-H面外変角吸収を与えるため(図3)、芳香環のまわりの水素の配置がIXまたはVと同じであることが予測され、また、紫外可視吸収スペクトル(図4～5)においては、VIが、*9,9'-ジベンゾアントロニル(VIII)*と*3,3'-ジベンゾアントロニル(VII)*の加成性を示すことから、*9,9'-*および*3,3'-*位における結合の存在が明らかであり、これらの事実から、VIの構造を*3,3'-9',9''-3'',3'''-クァテルベンゾアントロン*と判断した。

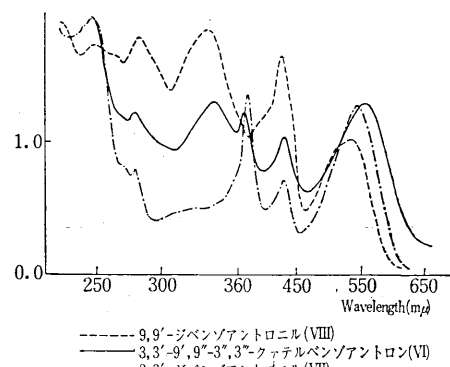


図4 VI, VII, VIIIの紫外可視吸収スペクトル(95% 硫酸)

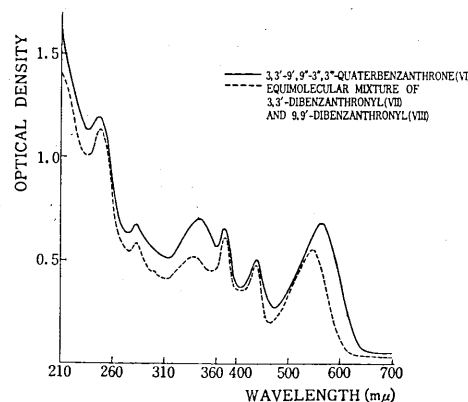


図5 VIとVII+VIII等量混合物の吸収スペクトルの比較
(95% 硫酸)

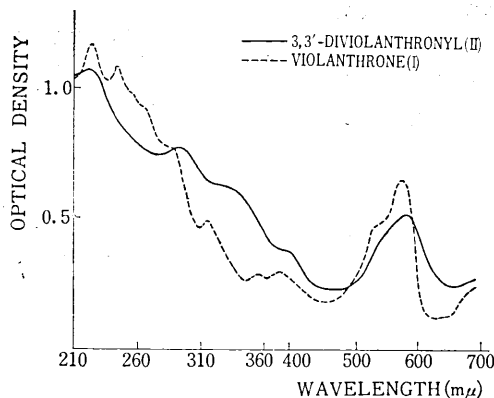


図6 I, IIの紫外可視吸収スペクトル(95% 硫酸)

断した。

VIIは、1分子中に*3,3'-ジベンゾアントロニル(VII)*型の骨格を2箇所もっているため、VIIをエタノール-水酸化カリウム中で加熱してビオラントロン(I)とする既知の方法⁴⁾に従ってVIを処理すれば、Iの骨格を2個有するジビオラントロニルに変化する筈である。この反応を実際に行なったところ、Iと類似の紫色粉末を生成し、

研究速報

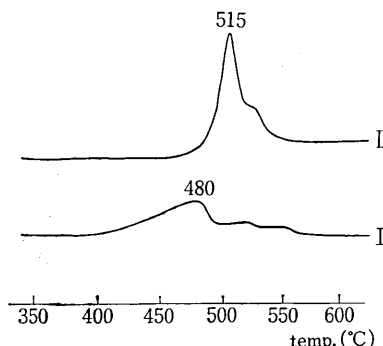
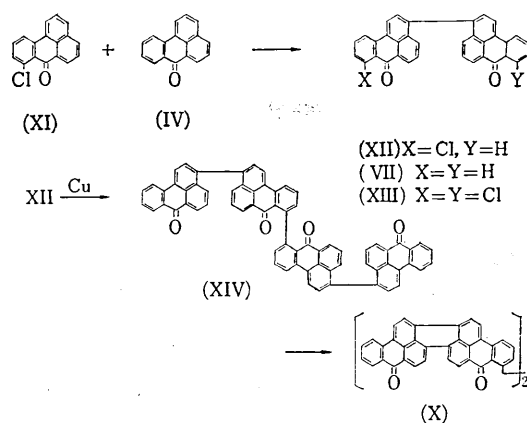


図 7 I および II の示差熱分析曲線
(試料量 522~565 μ g, 升温速度 5°C/min, I の感度は 1/2)

これを亜ニチオニ酸ナトリウムとアルカリによって精製して、IIを得た。IIの紫外可視吸収スペクトルをIと比較すると(図6)，これらがほとんど同じ吸収位置を示すことから、IIはビオラントロン骨格のみを含むことが判り、また、IIが融点をもたず、示差熱分析による被酸化ピーク温度として515°Cという高い値を与える(図7)ことから、IIの構造を3,3'-ジビオラントロニルと推定した。

次に、IIの異性体である4,4'-ジビオラントロニル(X)の合成は、下記の反応式にしたがい、出発物質を8-クロルベンゾアントロン(XI)としたほかは、IIの合成と



全く同じ方法により行なった。この場合、8-クロル-3,3'-ジベンゾアントロニル(XII)を得る際に副生する3,3'-ジベンゾアントロニル(VII)およびVIIの8,8'-ジクロル体(XIII)を分離するクロマトグラフィー操作を3回くり返してもXIIの純品は得られず、VIIの混在が認められたが、質量分析により、XIIの存在を確認し、VIIが小量混在するがジクロル体のほとんど混在しないXIIのウルマン反応を行なって、3,3'-8',8''-3'',3'''-カーテルベンゾアントロン(XIV)を得た(VIIは、ハロゲンを含んでいないため、ウルマン反応を行なった後でも未変化のまま回収される)。XIVの紫外可視吸収スペクトルを図8に示す。XIVをアル

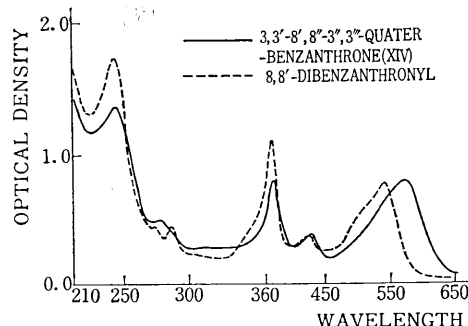


図 8 XIV, 8,8'-ジベンゾアントロニルの紫外可視吸収スペクトル(95% 硫酸)

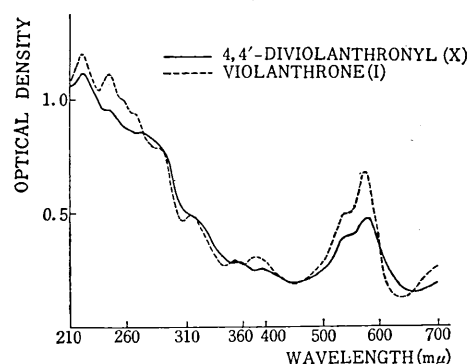


図 9 I, X の紫外可視吸収スペクトル(95% 硫酸)

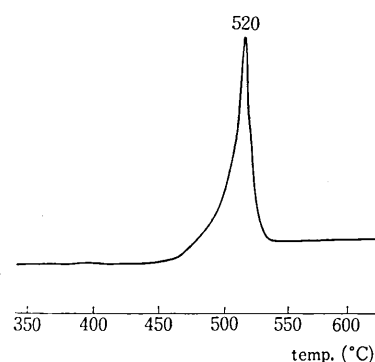


図 10 X の示差熱分析曲線
(試料量 500 μ g, 升温速度 5°C/min)

カリ閉環すると、IIの場合と同様、紫色粉末が得られ、建浴で精製したものとの紫外可視吸収スペクトルをIと比較して(図9)、4,4'-ジビオラントロニル(X)の生成をたしかめた。Xの示差熱分析曲線を図10に示す。

以上により、2種の新型の多環化合物IIおよびXを得たことになるが、これらの電気抵抗を粉末法で測定した結果は表1の通りである。これによれば、IIは、Xの約10²倍の導電性を示すことになるが、このことは、IIの立体構造が平面型に近く、Xはねじれ型であることに最も大きな原因があるものと考える。

研究速報

表1 IIおよびXの電気抵抗値(15°C)

化合物	圧力 (kg/cm ²)	電気抵抗値 (Ωcm)
3,3'-ジビオラントロニル(II)	300	2.03×10^8
	385	1.48×10^8
4,4'-ジビオラントロニル(X)	300	5.65×10^{10}
	385	4.08×10^{10}

実験

1. モノハロゲン-3,3'-ジベンゾアントロニルの合成
9-ヨード-3,3'-ジベンゾアントロニル(V)は次のようにして合成した。III 821mg, IV 2,949mg, 濃硫酸 18ml の混合物を、-6°C に冷却し、ここに、二酸化マンガン 2,781mg を加えてかきませる。-1.0~+1.0°C で 18.5 時間かきませた後、既報²⁾と同様に後処理して、次表の3種の生成物を得た。

番号	収量 (mg)	ハロゲン分析値(%)		融点 (補正, °C)
		分析値	計算値	
XV	7.9	32.18	35.67	414~416
V	85	21.35	21.72	366~368
VII	822	0.00	0.00	427~429

これらのうち、VIIは3,3'-ジベンゾアントロニルと同定され、また、XVは、既報³⁾で得た9,9'-ジヨード-3,3'-ジベンゾアントロニルに微量のIVを含むものと同定された。これらの中間の吸着帯から得られたVは、ハロゲン分析値から、VIIのモノヨード置換体であるが、赤外吸収スペクトルが9-ブロム-3,3'-ジベンゾアントロニル(IX)とほとんど一致したことから(図1)、VIIの9-ヨード置換体であることを確認した。

また、原料として、IIIのかわりにXIを用い、同様の操作により、8-クロル-3,3'-ジベンゾアントロニル(XII)を合成した(この際副生するXIIIまたはVIIのアルミナカラムクロマトグラフィーによる分離操作は3回くり返したが微量のVIIを完全に分離することは不可能であった)。

2. クァテルベンゾアントロン類の合成

V 146mg, ピレン 800mg, 活性化銅 200mg の混合物を280~290°Cの塩浴中で1時間はげしくかきませる。反応混合物をo-ジクロルベンゼン 500mlと共に煮沸後

熱口過し、ロ液をそのまま、クロマトグラフィーにかける。まず、原料Vと原料の脱ヨード化物VIIの吸着帯が流出し、カラム上部に第2の吸着帯を与えるが、これは多量のo-ジクロルベンゼンによっても流下しないため、フェノール/o-ジクロルベンゼン混合溶媒で溶出させる。溶液は減圧蒸留および水蒸気蒸留によって溶媒を除去し、黄色粉末 4.5mgを得た。第1の吸着帯の流出液は濃縮後再びクロマトグラフィーを行ない、V 81mg およびVII 5mgを得た。また、最初の熱口過の残分は、o-ジクロルベンゼン 1lと共に煮沸後熱口過する操作を3回くり返し、ロ液を合して濃縮し、黄色粉末 16mgを得た。このものの赤外吸収スペクトルは、先に得た黄色粉末と一致するので、これをあわせて、o-ジクロルベンゼンより再結晶し、黄色結晶性粉末 19mgを得た(收率17%)。ハロゲンを含まず、DTA, IR, UV(図2~5)のデータからVIと判定した。

また、原料としてVのかわりにXII(微量のVIIを含むもの)を用い、同様の反応によってXIVを得た。

3. ジビオラントロニル類の合成

水酸化カリウム 10gと、エタノール 10mlの混合物を油浴上でかきませながら加熱還流し、内温 120°CでVI 16.5mgを加え、115~125°Cの温度域で2時間かきませる。反応混合物を40mlの水中に投入し、空気酸化して沈殿をロ別、水洗する。得られた黒紫色粉末は、建浴化した後熱口過し、ロ液を再び空気酸化する。生成した沈殿をロ別し、熱水でロ液の電導度が一定となるまで洗滌をくり返した後乾燥し、IIの黒紫色粉末 16mgを得た(收率97%)。

同様にして、原料VIのかわりにXIVを用い、Xを得た(收率95%)。

(1971年1月27日受理)

文献

- 1) 後藤信行、時田澄男、李章鎬: 生産研究, 22(11), 482 (1970)
- 2) 永井芳男、後藤信行、時田澄男: 工化, 71(3), 383 (1968)
- 3) 後藤信行、永井芳男、時田澄男、湯浅健夫: 有合化, 27(8), 775 (1969)
- 4) A. Lüttringhaus, H. Neresheimer; Ann., 473, 272 (1929)

